



INTERNATIONAL ATOMIC ENERGY AGENCY
UNITED NATIONS EDUCATIONAL, SCIENTIFIC AND CULTURAL ORGANIZATION



INTERNATIONAL CENTRE FOR THEORETICAL PHYSICS
34100 TRIESTE (ITALY) - P.O.B. 580 - MIRAMARE - STRADA COSTIERA 11 - TELEPHONES: 224281/2/3/4/5/6
CABLE: CENTRATOM - TELEX 460392-1

SMR/112 - 12

IV^e SEMINAIRE SUR L'ENERGIE SOLAIRE

(10 - 21 septembre 1984)

LES CAPTEURS (fin)
LA REFRIGERATION SOLAIRE

J. FLECHON

Laboratoire de Physique de Dépôts
Métalliques
Université de Nancy I
B.P. 239
54506 Vandoeuvre les Nancy
France

Ces notes sont préliminaires. Vous trouverez les copies qui vous manquent et des supplémentaires au Bureau 231.

B) Mesures et calculs.

(6)

I) Mesures:

- a) le direct I : pyrhéliomètre
- b) global G et diffus : le pyranomètre.
- c) Durée d'insolation : héliographe Campbell $\rightarrow 130 \text{ W m}^{-2}$
- d) Rayonnement total : Q \perp pyradiomètre
 $Q'_{\downarrow} - Q'_{\uparrow}$: pyradianomètre
différentiel ou bilan

II) Éclairage d'un plan incliné

a) le problème du capteur.

2 types de calcul { éclairage - .
irradiation .

Rq: cas du direct arrivant sous incidence normale.

on a vu (loi de Beck) $dI = -k dx$ $I = K e^{-kx}$
En fait: loi statistique: $I = a e^{-b \sin(\theta + \phi)}$ I_0 constante totale

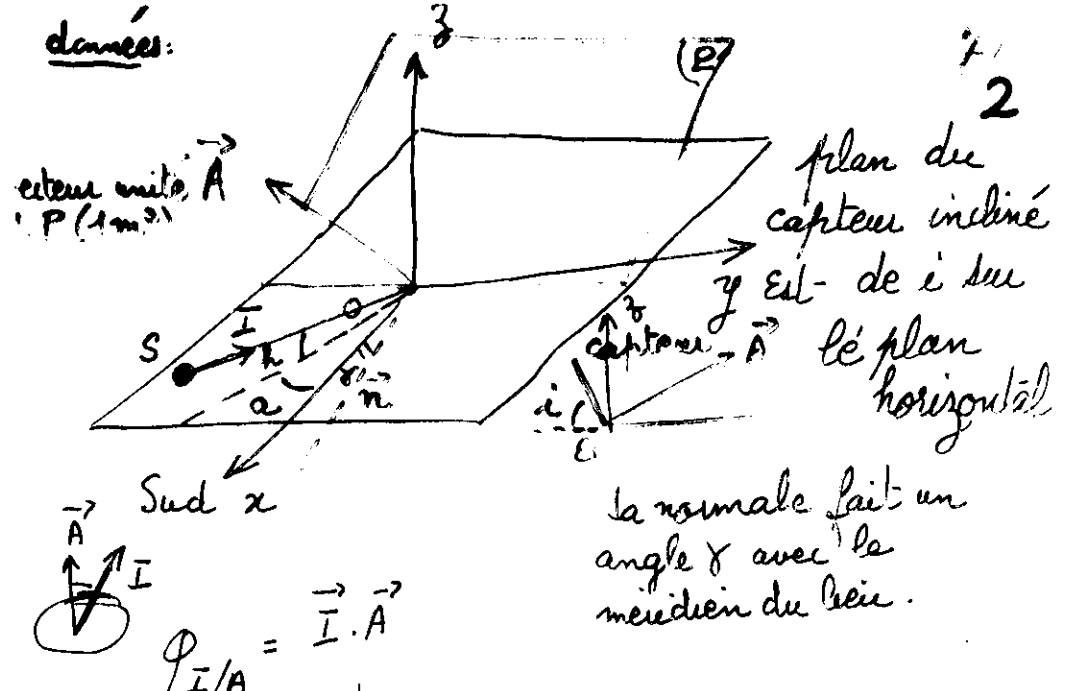
ex: Perrin de Brichambaut - France ciel moyen
 $T = 1230 \text{ e}^{-\frac{1}{4 \sin(\theta + \phi)}}$ (bleu clair)

b) le direct : plan incliné, ciel clair

Problème malique: I_{max} si $I \perp$ plan
capteur (nouvelles nécessaires)

Impossible pour les usages envisagés dans les PV
donc plan incliné face au Sud (Nord) $i = \lambda - \delta$
latitude

données:



$$\begin{array}{l|l} I \cosh \cosec \alpha & \sin i \cos \gamma \\ I \cosh \sin \alpha & \sin i \sin \gamma \\ I \sinh & \cos i \end{array}$$

$$\varphi_{I/A} = I [\cosh \sin i (\cosec \alpha + \sin \alpha \sin \gamma) + \sin h \cos^2 i]$$

$$= I (\cosh \sin i \cos(\alpha - \gamma) + \sin h \cos i)$$

cas particulier: (important en pratique)
A dans le plan méridien. $\gamma = 0$

$$\varphi_{I/A} = I (\cosh \sin i \cos \alpha + \sin h \cos i)$$

$$\text{Rq: si } i=0 \quad \varphi_{I/A} = I \sin h \text{ (partie verticale du direct)}$$

$$\text{si } i=\frac{\pi}{2}, \gamma=0 : \text{mur vertical sud} \quad \varphi_{I/A} = I \cosh \cosec \alpha$$

c) Eclaircissement diffus:

1) albedo du sol négligé: estimation

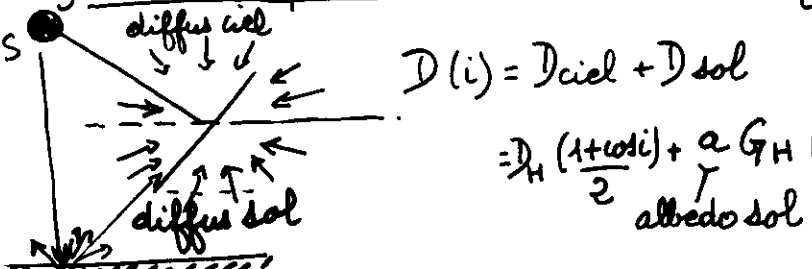
$$D_d \approx \frac{1}{2} (I_d - I_s) \sinh h \text{ avec } I_d = \frac{I_0}{1350 \text{ W/m}^2} \sinh h \quad w = 1 \text{ m/km}$$

w = 1 km/km
en été
alb. par surface d'eau

formule empirique:

$$D_d = 12.5 (\sinh h)^{0.4}$$

2) on tient compte de l'albedo du sol: (plan incliné)
i/Horiz.



d) global oblique: $G_{obl} = I(i) + D(i)$

$$G_{obl} = I_h (\cosh \sin i \cosec \alpha + \sin h \cos i) + D_H \frac{(1+\cos i)}{2} + \alpha G_H \frac{(1-\cos i)}{2}$$

en	50°	42°	37°	44°
I_h	90°	133	92	123
W/m^2				

ciel moyen très pur zone inégalité

Rq: - diffus par ciel couvert (en Europe)

$$G_H = D_H \text{ si } h > 20^\circ \quad G_{1+} \approx \frac{1}{4} G_H \text{ ciel clair}$$

- durée d'insolation et global (important pour les capteurs à concentration)

$$\frac{G}{G_0} = \frac{\alpha}{f(\lambda)} + \beta \left(\frac{S}{S_0} \right) \text{ facteur d'insolation.}$$

- Captur horizontal ($i=0$)

$$G_H = I \sinh h + D_H \approx 1.280 (\sinh h)$$

3

8

en France

III Irradiations quotidiennes - ciel clair - ⑨

a) directe 1) I_{0i} : $\int_{\text{jour}} \text{les éclaircements calculés}$ 4

ou:
climatologique: surface ayant recours aux

mesures d'atténuation:

on atteint: { moyenne
extremes
distribution de
météo

climatologique:
cas: cas des...
30 ans
moyenne
climatologique!

ex: 18: 40 journées à l'équinoxe \rightarrow intervalle décadaire
régions intertropicales — mensuel.

on dira: résultat journalier par mois

Rq: le mois mal choisi (22 à 21 \rightarrow symétrie/équinoxes)

2) l'intégrale ne prend pas en compte les variations des paramètres météo.

ex: facteur de trouble $T_L = 1,6 + 1,6\beta_A + 0,5 \ln e$

e: tension vap. eau en hPa ~ millibars.

eau condensable $w = 0,17 e \text{ (g cm}^{-2}\text{)}$

3) $\frac{\overline{I}_{0i}}{I_{0H}}$ varie peu avec T_L (indice O¹ FEDS
 \rightarrow jour)

ex: meilleure au sud; $\overline{I}_{090} = C [1,6 \lg(1,25x) - 1,45d - 56,5 + 0,04(x-4)]$

b) diffuse et globale:

!) D_0 non atteint par \int car T_L et α (du sol) difficiles à apprécier.

! dans l'hiver: des stations mal adaptées (différes. Nancy)

2) G_0 : on fait on compare à

(plan orienté Sud) $\overline{I}_{0(i)} + D_0(i)$ correspondance $\approx 10\%$ 5

Rq: 1) $D_0 = f(T_L)$ mais $\frac{D_0}{G_0}$ varie peu avec T_L

2) $\frac{G_{0H} \text{ couvert}}{G_{0H} \text{ clair}} \approx 0,22 \text{ (été)} \quad 0,30 \text{ (hiver)}$

3) Statistiquement: Les mesures $\approx 10 \text{ à } 12\%$

c) Résultats:

Gisement - Capteurs

① 6

I Le gisement solaire

généralités (astrophysique, énergie nucléaire)
rayonnements solaire et terrestre (caractéristiques)
mesures

évaluation des ressources énergétiques.

II Un exemple : capteurs à tube sous vide sans concentration. (M. Boudeau - La Vilaine)

- Un fait: Si $\Theta_{capt} > 50^\circ\text{C}$ fuites $\uparrow \rho \downarrow$
 plan thermiques
- Réduction des pertes:
 R de l'absorbeur couche sélective sur face avant
 convection de l'air entre $\rightarrow 0$ vide 10 tour
 conduction vitre et absorbeur $\rightarrow 0 - 10^{-4}$
 calorifugage isoler face arrière par évans à Eir. \downarrow

$$\text{ex } \Theta_{amb} = 15^\circ\text{C} \quad \Delta \theta = 75^\circ\text{C} \quad \text{Pertes } W \text{ m}^{-2} \text{ }^\circ\text{C}^{-1}$$

$$\begin{aligned} \text{capt. plan non sélectif, } & 8 \\ - \text{ sous vide, non sélectif, } & 4,5 \\ - \text{ sous vide, sélectif, } & 1,7 \\ - \text{ sous vide, non sélectif, } & 1,1 \end{aligned}$$

$$\begin{aligned} \text{c) Pénométrique: capt. plan} &= a - b_0 (\Delta \theta - \Delta \theta_{amb})^2 \\ - \text{sous vide} &= a_1 - b_1 (\Delta \theta - \Delta \theta_{amb}) - b_2 (\Delta \theta - \Delta \theta_{amb})^2 \end{aligned}$$

d) Exemples de c. sous vide.

① 4

1) "Heliotube" (Mazda)

direction magasin Marseille 36 panneaux 54 m^2
+ machine abd. ARKLA w 35
caisse d'épargne Eix $300 \text{ m}^2 + (25000 \text{ fr})$

2) "Corotec" (Corning - France) capt. $1,13 \text{ m}^2$

pyrex - chrome noir 10^{-6} Tribourg

Condenserie Tinesteire 315 m^2 (AFME)

3) "Télévision" (Berten) \rightarrow abandonné

4) Giordano

5) CENG (Grenoble) $\rho = 0,4 \text{ a } 0,6$ $\begin{cases} \text{ensoleillée} \\ 0,9 \cdot 1/\text{kw m}^2 \end{cases}$
 $\Delta \theta = 120^\circ\text{C}$

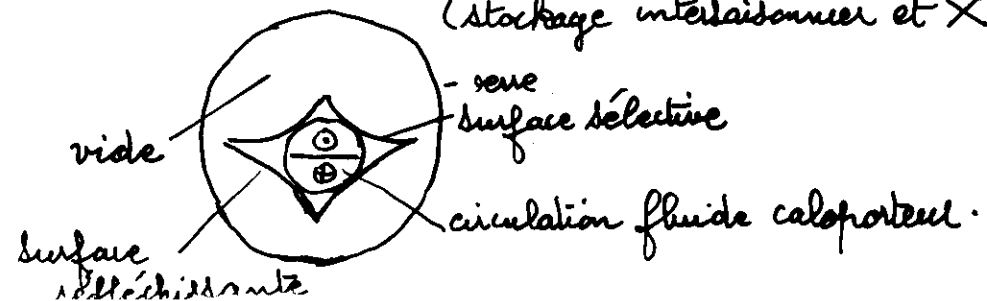
e) Appréciation:

prix ?

durée de vie : fragile
efficacité couche sélective $\downarrow \Delta \theta$

sécurité : implosion possible (choc)

applications : climatisation (P.V.D.)
eau chaude agro. abri ($60-80^\circ\text{C}$)
stockage inter saisonnier et X



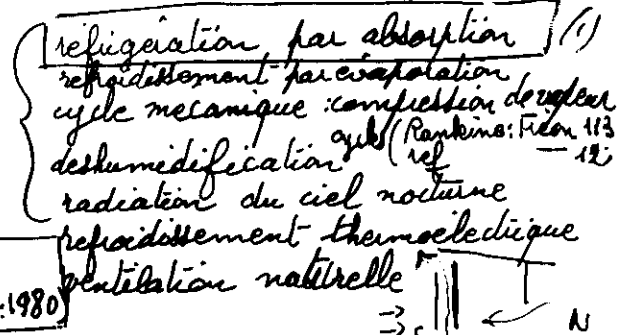
La Réfrigération solaire

(24) 8

Cahier AFEDES n°5

différentes possibilités d'emploi de l'E.S. pour le refroidissement

Biblio: J. Bonnem et al.
Réfrigération Solaire (SCM: 1980)



On se limitera à (1) avec emploi de collecteurs plans → Zone tropicale (sans électricité)

ou semi-concentrées

A) Généralités

I Traie le point:

- a) Conferences précédentes
 - 1) climatologie
 - 2) collecteurs plan thermostatique T_c
 - thermodynamique: $T \rightarrow T_{\text{limite}}$
(4 à 5 h d'insolation efficace)
 - $P_{\text{collect}} \rightarrow Q_{\text{utilisable}}$

b) Que faire de Q_u :

- 1) chauffage: études nombreuses → paramètres connus
→ idées générales dégagées → problème résolu dans son principe → industrialisation: cf: chauffe eau Japan Israel France

chauffage domestique: E.D. = Aramon

- 2) réfrigération: on en est encore au stade de la recherche contre expériences réalisées { absorption: LiBr-H₂O pas de stations industrielles de ref.

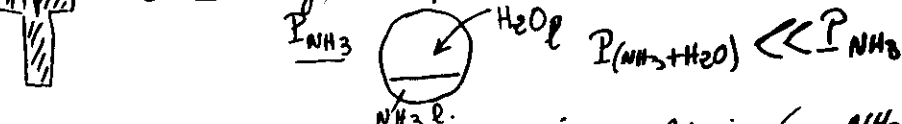
II Principe de la réfrigération à absorption

(25)

a) le phénomène physique: Lois de Dalton et de Raoult

état 1) mélange de gaz: (Dalton) $P_t = P_{f,g_1} + P_{f,g_2}$

état 2) mélange de vapeurs (Raoult) ex: NH₃ + H₂O



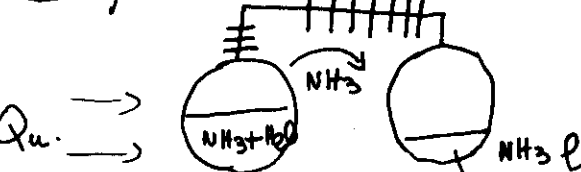
La Pression au-dessus d'un mélange binaire (ex: NH₃+H₂O) est << Pression du corps le plus volatil.

3) Traduction de cette propriété:

Les diagrammes ($\frac{1}{T}, \log P$)

ex: diagramme de Bošnjaković et Wachter (NH₃+H₂O) (IIEF)

b) Exemple:



Generator { bouilleur absorbeur

T P_{sol} P_{NH_3}

2) opérations: e. i.: 35% NH₃ 20°C 1 bar 9 bar
- ch (Q) - 85° 9 \leftrightarrow 9

(fin 20%) 120° 20 \rightarrow liquide (+Qp)

- e. f. 20% 20° 0,35 \leftarrow vapor

NH₃ l s'évapore en prenant Q_e à l'évap dont T : NH₃ l se distille - dégageant Q_{iss} dans le bouilleur - T ,

IV Thémostatique et thermocinétique. 10

a) Analogie avec l'étude des capteurs

La brièveté de la durée de l'insolation conditionne la mise en œuvre de toutes les applications de l'énergie solaire.

b) Conséquences en réfrigération:

2 stades d'étude nécessaires:

Thémostatique de la réfrigération:

Établissement préalable des diagrammes ($\frac{1}{T}$, $\log P$) pour le couple frigorigène. (diagrammes thermodynamiques)

But: Connaitre les limites des possibilités des couples. (Analogie avec les capteurs plans $G=5$, T_c)

Thermocinétique de la réfrigération.

On ne peut jamais atteindre les limites prévues par les diagrammes.

2 types de cinétique

{ celle de la libération de frigorigène (jour)
réabsorption (nuit)

B)

11

Un exemple d'étude de réfrigération solaire par absorption sèche

I Les données du problème.

a) les besoins: pays subtropical en voie de développement dans ces pays: régions déshéritées - raison - la conservation des denrées perissables

ex: Nations OMS : vaccins (-30°C +8°C) ambiante 43°C jour 30°C nuit.

or: réalisations actuelles:
photovoltaïques (mid.) fric
adsorption zeolites-eau (recherche)

Problèmes économiques.

b) choix du couple: $\text{CaCl}_2, \text{NH}_3$
utilisé industriellement en Allemagne (1920-40)

Caractères physico-chimiques:

	CaCl_2	8NH_3	4NH_3	2NH_3	?	0
$P = 16 \text{ bars}$						
(cond. 40°C)						
1						
0,13						
	95°C		106°C			
	32		42			
	-2		7			
					180	conclue
					126	

Trace du réseau ($\log P \cdot \frac{1}{T}$)

montage labo

obtention d'une concentration (vannes)

les équilibres $P, T \rightarrow \downarrow$

Consequences:

Il faut

$\Theta \rightarrow$ capteur plan^o: semi-concentration
 $P \rightarrow$ enveloppe pas d'échange (gas)
résistante

NH_3 toxique : étanchéité

agressivité: Cu ?? \rightarrow acier

But:

fric < toutes les autres fric
matériel mélique plus
"quincas" postérieures.

conurrencer les autres appareils

pas d'intervention de l'usager autonomie: automatisme total
(pas de pièces mobiles: palettes)
pas d'entretien.

L'appareil de rechasse en vraie grandeur:

a) paramètres: $2 m^2$ - 12 Kg Cu + $13 kg NH_3$
950l - éclairage: Spots $E_{moyen} 1 kW m^{-2}$

(t: 140°C) 9-15h haloges - mesures NH_3
nous proposons facteur de qualité $Q = \frac{F \times \Delta T_{amb}}{F_0 \times \Delta T_{rechass}}$

$$F = M (\Theta_i - \Theta_f) \quad F_0 = M_{NH_3} \times L_{NH_3}$$

$$\tau_{co} = \frac{F}{F_0} \quad \tau_{net} = \frac{F}{W_e} = \frac{F \times F_0}{F_0 \times W_e} = \tau_{cu} \times \tau_{génér}$$

ex: $3^e NH_3 \approx 2 kg \rightarrow 700 \text{ kcal}$
 $6h \times 2 \text{ kw} \times 3600$

$$\frac{4}{7} \times 0,065 \rightarrow 3,7\%$$

Construction

Résultats

12

28

15

29

Le prototype industriel:

a) but: Conservation des vaccins, de la viande
du lait, en ambiance tropicale.

b) conception: cave isolante 300 l (OMS: 12cm polyuréthane
en fait: congélateur simple 9,5cm au lieu de 6,5
générateur $6 m^2$

autonomie conditionnée par le cycle solaire.
condenseur: ailettes - air ($2 m$)
réserve NH_3

Schéma

c) Réalisation industrielle (Brevet déposé à Paris le 6 juillet 1974 par l'ANVAR)

Conclusion :

a) le choix d'un couple frigorigène :
f (conditions climatiques)

b) Cas des Z. Tropicales privées d'électricité
 L'absorption seche semble + prometteuse

conditions : $T_{MB} \nearrow$

interface S-L : étendue (cinétique)
 volume important de liquide frigorigène.

c) Chlorination: ce point essentiel \rightarrow

obtenir + production importante de liquides nocturnes.

possibilité: évaporateur en plaques + collecteur

comme en Z. tempérée : chauffage central

- Z. Tropicale : réfrigeration centrale

d) Caractères d'un réfrigérateur solaire thermodynamique

encombrant : par les carters - l'isolation (feutres thermiques)

: — le volume important du liquide

frigorigène ($C.O.P$ faible) $15\text{ l }NH_3$ (5 l utiles)

— très chaudes — cas des déserts.
 ne se justifie qu'en brousse : loin de toute source d'énergie.

service attendu : conservation des denrées perissables

problème de { bâtons
 l'appart énergétique } médicaments, vaccins, sérums.

Réfrigérateur solaire { électrique : compact, le bâton } { commandé
 : encombrant, le soleil }